

III-12 繰返し荷重による粒状体の構造変化について

信州大学工学部 正会員 小西純一

1. まえがき

砂、れきのような粒状地盤は、構造物からの繰返し荷重を受けると、塑性的な変形を重ね、構造物は次第に沈下してゆく。最も単純な構造物の例としては、鉄道線路がある。列車通過による衝撃的な繰返し荷重を受けて、道床パラストは少しずつ変形し、その結果多くの残留沈下が生じるが、その1例を図-1に示す。道床はかなりの自由表面を持ち、よくらぎの残留沈下を考慮しても、かなりの不完全拘束状態となっており、残留沈下は継続的に増加する。

初期に残留沈下が大きく、その後、定常的な変形に移行する過程を、統一的に把握しようと試みたのは、山内ら(1970)によってなされている。可ならむ、粒状体の変形と、初期圧縮変形過程と定常過程を考え、両過程の連続性と、間げき比と粒子移動方向に着目して論じてている。また、最上にさる粒状体力学の統計的理論(Mogami, 1965, 1966, 1967など)では、粒状体の間げき比と間げき比の偏差に着目して、変形と破壊を論じていて。

筆者は、既に、繰返し荷重を受ける粒状体の変形が、初期の圧縮過程とそれに続く流動過程から成ることなどを、鋼棒積層体を用いた2次元モデル実験により、間げき比の変化に基づいて指摘した(後藤・小西, 1969)。

ここでは、繰返し荷重を受ける粒状体の変形過程と、その構造変化と関連させてながら考察する。

2. 実験方法

図-2に示したように、幅500 mmの木枠の中には、直径9 mmと3 mmの鋼棒(混合の割合は本数比で約1:2)を、配列ができるだけ不規則となるよう留意しながら横み上げ、初期層厚が約150 mmの鋼棒積層体をつくる。この上に載荷板を置き、これに落錘による衝撃荷重を加え、各回ごとに、載荷板残留沈下量を測定し、正面から写真撮影し、引伸ばして印画より、間げき比、粒子の移動方向、粒子接触角を求めた。

3. 実験結果とその考察

載荷板残留沈下量の経過は図-3にその1例を示したようになる。これは図-1に示した実例と同様の傾向を示しており、ここで用いた積層体モデルによって、少なくとも定性的には、粒状体特有の挙動を再現できるものと期待される。

粒子の移動方向の頻度分布および粒子接触角の分布を載荷板直下、幅100 mm、底面から20 mm～載荷板の領域について求めた。図-4に移動方向の頻度分布を5°ごとに求めたものを示す。破線は15°

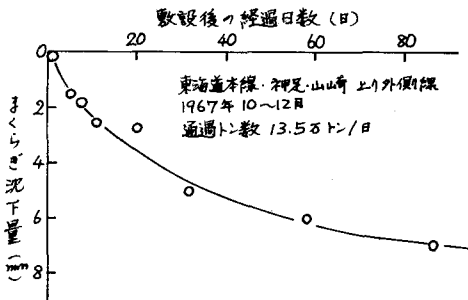


図-1 残留沈下の実測例

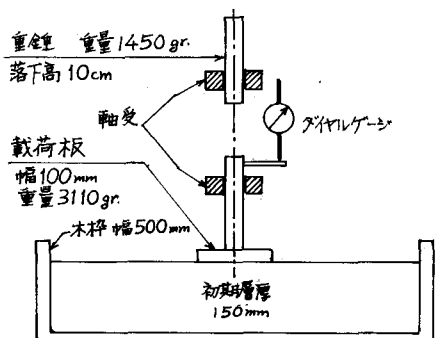


図-2 実験装置

ごとの分布に直したものも示す。0～5回目の移動方向とは初期位置から5回目の載荷終了時の位置へ引いた矢印の方向である。各回ごとの移動を求めようとして、移動量が小さく、困難なので、0～5回目、10～30回目の2例を示すことにとした。

図-5は各載荷段階における粒子相互の接触点における接線が水平に対しての角度の分布を求めたものであって、上半分は 5° と、下半分は 15° との分布に直したものである。また、下半分の7点を経由する内に最小自乗法により求めた。

Wiendieck(1967)によれば、この構内の 0° 方向の径を a 、 90° 方向の径を b とすると、この粒状体の幾何学的非等方性 Ag は $Ag = (a - b)/(a + b)$ で表わされる。この実験の例では粒径が2種類かつ円形粒子であるので、規則配列の影響がかなり現われ、構内のあてはめには難点があるが、一応の目安として求めたところ、粒子形状が不規則になるか、粒径が多様になると、分布は構内に近く Ag 。

粒状体が荷重を受けると、各荷重段階に応じて、粒子の集合状態がわざわざ構造が変化する。図-4からわかるように初期においては粒子は下向きに移動するものが多い。この過程で間隔比は減少し、粒子接触角は 0° 付近のものが卓越するようになる(図-5a)。

Ag の値は初期に0.002であるものが0.192となって水平方向の接觸面が増加したことと示している。さらに載荷除荷を繰り返すと、移動方向分布は、ピーカーが低くなり平均化されて、横方向への移動も増加する(図-4b)。これに伴って、構の粒子との接觸が増して接觸角分布は、Tにて長となり Ag は符号が変って、10回目では-0.018、30回目では-0.055となる。なお30回目では規則配列の影響が顕著に現われている。ここに述べたような接子接觸角の分布の変化と間隔比の変化を考慮することにより、圧縮からせん断への移行の過程を統一的に記述できるのではないかと期待される。

1)後藤・小西(1969)土木学会年次講演会III-19 2)Mogami(1965, 66, 67など): 最上偏着土壤力学。
3)山内・青砥(1970)土木学会年次講演会II-37 4)Wiendieck(1967): Bautech. 44, 3.

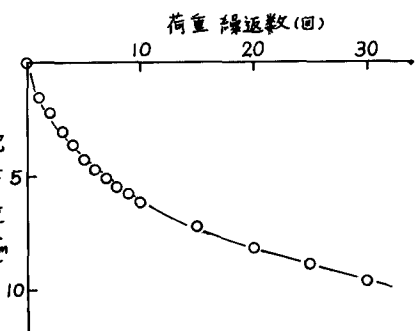


図-3 載荷板の残留沈下量

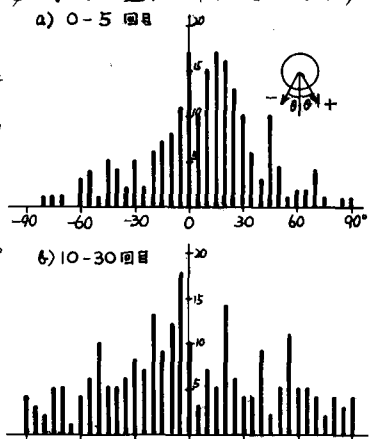
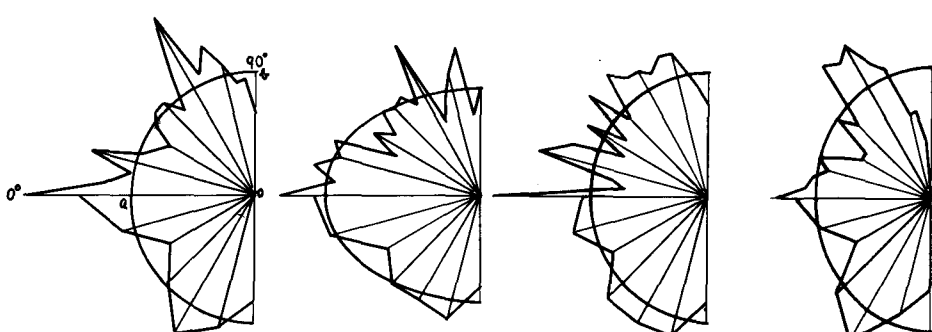


図-4 粒子の移動方向の頻度分布



a) 初期状態 $Ag = 0.002$ b) 5回目 $Ag = 0.192$ c) 10回目 $Ag = -0.018$ d) 30回目 $Ag = -0.055$

図-5 接触角の分布の変化